KEWS: 面向指标数据的流量模拟质量评估方法

李澎生1, 杜庆峰1, 赵生捷1

1(同济大学 软件学院, 上海 201804)

通讯作者: 杜庆峰, E-mail: Du_cloud@tongji.edu.cn

摘 要: 为了确保流量模拟的有效性,通过向系统注入流量,利用指标数据动态地评估系统内部状态在模拟流量和真实流量间的相似性是必不可少的.然而,由于指标数据(key performance indicators, KPIs)具有数据规模大,量纲差异,相位偏移,不平滑,维度高,数值跨度大等特性,针对全量指标的评估是不切实际,且如何度量指标数据间的相似度也是一个挑战.提出了一种针对指标数据的相似性度量算法,扩展形状距离(extend shape-based distance,ESBD),其描述了形状和强度的相似性.围绕 ESBD,提出了一种面向指标数据的流量模拟质量评估方法(KPIs-based quality evaluation of workload simulation, KEWS),由四个步骤组成:指标预处理,指标筛选,指标聚类,指标评估. KEWS 能够有效地消减指标特性的影响,并给出一个全面的流量模拟质量评估结果.在Histershop(一个开源的微服务应用程序)上进行的实验展示了 ESBD 和 KEWS 的有效性.

关键词: 流量模拟:指标数据:时间序列:相似性度量:质量评估

KEWS: A Evaluation Method of Workload Simulation based on KPIs

LI Peng-Sheng¹, DU Qing-Feng¹, ZHAO Sheng-Jie¹

¹(School of Software Engineering, Tongji University, Shanghai 201804, China)

Abstract: For end-to-end performance testing, workload simulation is an important method to enhance the real workload while protecting user privacy. To ensure the effectiveness of the workload simulation, it is necessary to dynamically evaluate the similarity of system inner status using key performance indicators(KPIs), which provide a comprehensive record of the system status, between the simulated workload and real workload by injecting workload into the system. However, due to the characteristics of KPIs, including large data size, amplitude differences, phase shifts, non-smoothness, high dimension, and Large numerical span, it is unpractical to evaluation on the full volume of KPIs and is challenging to measure the similarity between KPIs. In this paper, we propose a similarity metric algorithm for KPIs, extend shape-based distance(ESBD), which describes both shape and intensity similarity. Around ESBD, a KPIs-based quality evaluation of workload simulation(KEWS) was proposed, which consists of four steps: KPIs preprocessing, KPIs screening, KPIs clustering, and KPIs evaluation. These techniques help mitigate the negative impact of the KPIs characteristics and give a comprehensive evaluation result. The experiments conducted on Hipstershop, an open-source microservices application, show the effectiveness of the ESBD and KEWS.

Key words: workload simulation; key performance indicators; similarity metric; time series; quality evaluation

流量模拟是对真实流量的近似模拟:通过提取、处理真实流量的特征,生成具有相同或相似特征的模拟流量.随着微服务应用的快速发展[1],传统的性能测试[2]愈发难以满足全面评估系统的性能特性的要求.为了应对微服务应用的复杂、异构、异步等特性,越来越多的研究关注基于真实流量的全链路压测[3].然而,考虑用户隐私的安全性、用户行为的复杂性和真实流量的有限性,流量模拟是一种增强真实流量同时保护用户隐私的必要方法.为了验证流量模拟的有效性,不仅需要静态比较模拟流量和真实流量间流量特征的相似性[4],还需要动态评估系统在模拟流量与真实流量下的运行状态的相似性.

记录系统运行状态的数据有多种:指标、日志、调用链等.其中,调用链通常只记录了用户的操作信息,即用户行为.而日志则依赖于系统对信息记录的粒度要求,且作为一种非结构化数据,其需要额外的日志解析工具.相较于调用链和日志,指标以时间序列的结构化形式全面地记录了系统的运行状态,即指标数据更丰富,更具通用性.

指标数据(key performance indicators, KPIs)监控系统中各个组件的状态信息,如 CPU/内存利用率,服务请求数等,其由系统监控程序以一定的时间间隔(如 15 秒)收集处理并生成.指标数据本质上是一种反映系统运行状态的时间序列.不同的系统包含不同的指标类型,不同的用户行为对指标也有不同的影响.

然而,一个微服务系统中的指标数量规模过于庞大,难以利用全部指标进行完全的质量评估.一个指标由多

个标签属性表示其监控内容,逐一分析筛选指标并不是一个高效而通用的做法.另外,指标具有的如量纲差异、相位偏移、曲线不光滑、时间维度高、数值跨度大的特性,不仅会改变指标的形状特征,扭曲指标间的相似性,而且会增加分析处理指标的时间开销.

应对上述挑战,提出了一个针对指标数据的相似性度量算法,扩展形状距离(extend shape-based distance, ESBD),并基于此设计了一个面向指标数据的流量模拟质量评估方法(KPIs-based quality evaluation of workload simulation, KEWS),其包含了指标预处理,指标筛选,指标聚类,指标评估四个模块.指标预处理对原始指标数据加工处理;指标筛选得到强相关指标子集;指标聚类得到弱相关指标子集;指标评估则基于强相关指标子集和弱相关指标子集,应用 ESBD 计算得到流量模拟质量结果.

本文的主要贡献可以概括如下:

- (1) 提出了针对指标数据的相似性度量算法 ESBD,同时考虑指标形状和强度上的相似性,以更全面地评估指标数据间的相似性.
- (2) 首次提出了针对流量模拟的质量评估方法 KEWS,其基于指标数据进行质量评估,适用于不同系统的流量模拟方法.
- (3) 在谷歌开源的 Hipstershop 微服务系统下,验证了 ESBD 和 KEWS 的有效性.

1 挑战与方法总览

指标作为时间序列,可以表示为 $\{t_1: x_1, t_2: x_2, t_3: x_3, ..., t_m: x_m\}$,其中 t_i 表示时间戳, x_i 表示对应时间戳的值,m为时间序列的长度.在本文中我们不考虑时间戳 $\{t_i\}$ 序列的评估.因此,以 $\vec{x} = \{x_1, x_2, x_3, x_m\}$ 来表示某一指标.

1.1 挑战

为了保证系统稳定可靠地持续运行,微服务系统需要监控数以万计的指标以实时检测异常并发出告警.面对规模如此庞大的指标集,如果将所有指标都作为评估的对象,那么不仅评估过程的时空开销巨大,而且评估结果的准确性可能无法令人信服(指标集中存在与评估目的无关的指标,如配置相关指标等).然而,目前在文献中很少有基于指标属性筛选指标的工作.

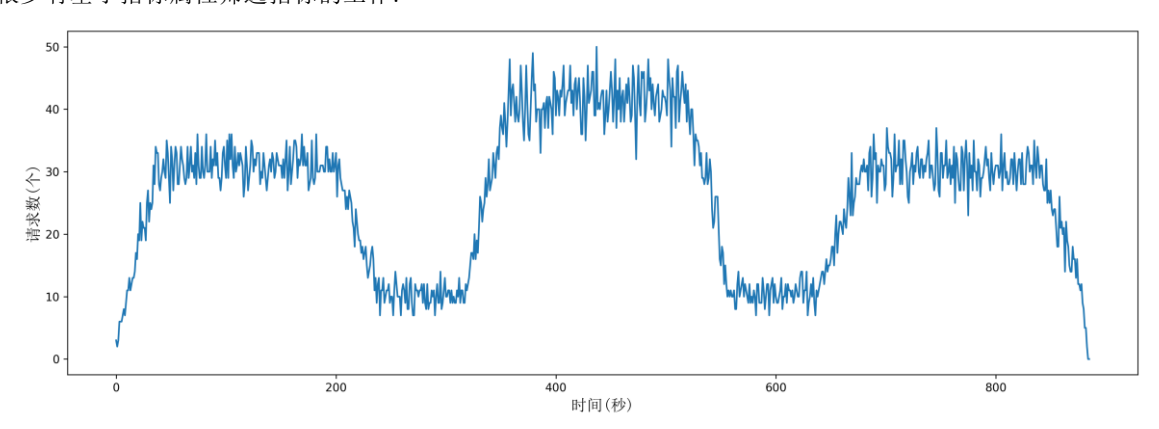


图 1 生产环境下的指标数据实例

正如 ROCKA^[5] 中所述,与理想化的时间序列不同,指标除了存在量纲差异,相位偏移外,还具有如下特性:

- (1) 曲线不光滑:指标通常以秒为单位细粒度地记录数据,由于用户行为的随机性和不连续性,导致指标中出现如图 1 所示的脉冲、毛刺等类似噪声的表现.另外,由于系统的波动,指标会出现大幅偏离正常值的异常数据.这种"噪声"和异常的不光滑的特性会扭曲指标间的相似度计算,进而影响聚类算法的效果.
- (2) 时间维度高:指标数据能够在系统中持久存储,存储时间随系统具体业务要求和配置的不同,可以从短如几

天到长达一年.类似地,在不同分析粒度的流量模拟任务下,指标数据的时间跨度可以短如一天也可以长达一年(实际上会对时间和数值进行等比例的压缩).以数据记录点间隔 15 秒计算,时间跨度为一天的指标的长度*m* = 5760,而时间跨度为一年的指标长度*m* = 2102400,达到了百万数量级.这不仅会极大地增加指标聚类的开销,而且时间间隔与时间跨度的不匹配影响了相似性度量算法对形状特征的比较.

(3) 数值跨度大:指标全集K中存在相当一部分的累积型指标(如 cpu_seconds_total、http_request_count、request_messages_tota),这种指标将变化量累加起来以一个累积和的形式描述某事物.对于变化量非负的指标,其指标值为非递减序列.当系统持续运行相当一段时间,其指标值会累积到相当大的数值,这不仅令其与其他指标间存在很大的数值差异,而且会使其变化特征被大数值所平滑.

另外,在流量模拟质量评估场景下,为了评估结果的全面性,需要同时考虑指标形状和强度上的相似性.然而,在文献中少有针对指标而设计的相似性度量算法,而目前最为常用的时间序列间的相似性度量,如欧氏距离、Dynamic Time Warping(DTW)^[6]、Shape-based Distance(SBD)^[7],都无法完全满足指标相似性度量的要求.

1.2 方法总览

为应对如上挑战,本文基于 SBD 提出了一种全新的指标相似性度量算法 ESBD.ESBD 是以指标峰值比为度量的强度相似性与 SBD 描述的形状相似性融合而形成.同时,提出了一个面向指标数据的流量模拟质量评估方法 KEWS.

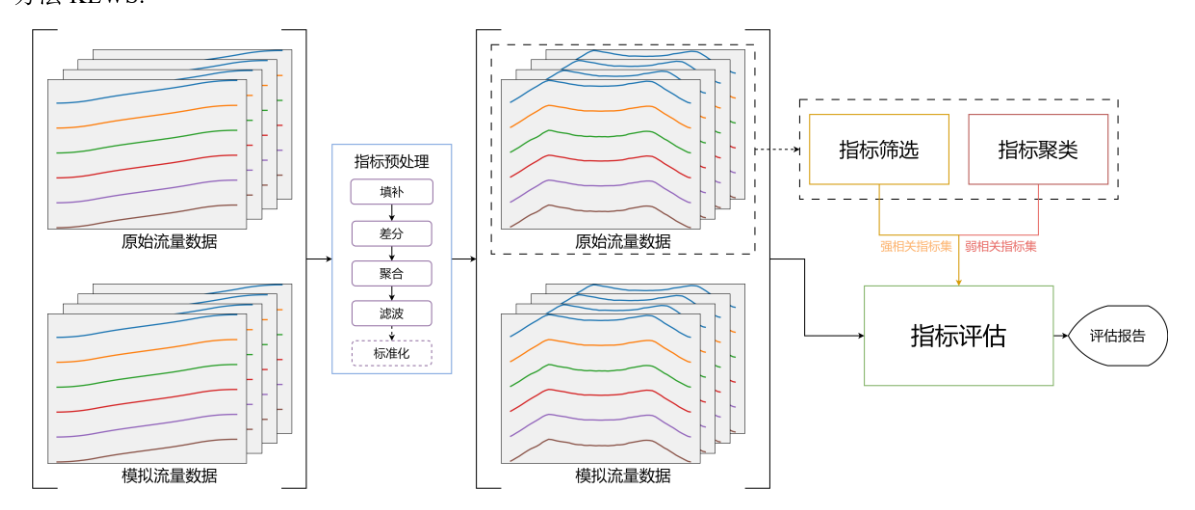


图 2 KEWS 方法架构示意

如图 2 所示, KEWS 由四个步骤组成:指标预处理,指标筛选,指标聚类和指标评估.其中,指标预处理对原始指标数据进行加工处理,以减少指标特性对后续计算的干扰;指标筛选利用领域知识和干扰实验,筛选出强相关指标子集;指标聚类应用基于 DTW 的 DBSCAN^[8] 聚类,挑选出弱相关指标子集;指标评估基于强相关指标子集和弱相关指标子集,对强相关指标和弱相关指标采用不同的 ESBD 聚合处理,得到综合强弱相关考虑的流量模拟质量评估结果.

2 指标相似性度量(ESBD)

基于 SBD,提出了同时描述形状和强度上的相似性度量 Extend-SBD(ESBD),如式(1)所示:

$$d = (1 - \alpha) \cdot d_{shape} + 2\alpha d_{intensity} \tag{1}$$

其中, α ∈ [0,1]表示控制形状与强度权重的超参数,称为强度因子.

假设 $\vec{x}, \vec{y} \in \mathbb{R}^m$ 表示两长度为m的时间序列, d_{shape} 表示由 SBD[7] 描述的形状差异,如下式:

$$d_{shape}\left(\vec{x}, \vec{y}\right) = 1 - m_{l} x \left(\frac{R_{l-m}\left(\vec{x}, \vec{y}\right)}{\sqrt{R_{0}\left(\vec{x}, \vec{x}\right) \cdot R_{0}\left(\vec{y}, \vec{y}\right)}}\right), l \in \{1, 2, \dots, 2m-1\}$$

$$(2)$$

其中,

$$R_{k}\left(\overrightarrow{x},\overrightarrow{y}\right) = \begin{cases} \sum_{l=1}^{m-k} x_{l+k} \cdot y_{l} & k \ge 0\\ R_{-k}\left(\overrightarrow{y},\overrightarrow{x}\right) & k < 0 \end{cases}$$
 (3)

其中, $d_{shape} \in [0,2]$, d_{shape} 越小说明 \vec{x} , \vec{y} 在形状上的相似度越高. $d_{intensity}$ 描述了强度差异,如下式:

$$d_{intensity}\left(\vec{x}, \vec{y}\right) = \exp\left\{\frac{-1}{\left|q\left(\vec{x}, \vec{y}\right) - 1\right|}\right\} \tag{4}$$

其中, $q(\vec{x},\vec{y})$ 表示了 \vec{x},\vec{y} 间强度的差异.我们认为,指标强度的差异主要表现在峰值强度的差异上.因此,以指标的峰值来概括描述指标的强度,即q描述了指标间峰值的差异:

$$q(\vec{x}, \vec{y}) = \frac{\frac{1}{n_1} \sum p_{\vec{x}}^i}{\frac{1}{n_2} \sum p_{\vec{y}}^i}$$
 (5)

其中, $p_{\vec{x}}^i,p_{\vec{y}}^i$ 表示 \vec{x},\vec{y} 的峰值, n_1,n_2 表示 \vec{x},\vec{y} 的峰数量.如式(5)所示,q以指标间峰值的比值作为强度差异的度量方法.

为了保证 $d_{intensity}$ 的对称性,对q作如下变换:

$$q = \begin{cases} q, q \ge 1\\ \frac{1}{q}, q < 1 \end{cases} \tag{6}$$

将 [0,1) 区 间 映 射 到 $[1,\infty)$ 区 间 , 使 得 $d_{intensity}(\vec{x},\vec{y}) = d_{intensity}(\vec{y},\vec{x})$, 即 使 得 $q \in [1,\infty)$, $d_{intensity} \in [0,1)$. 因 此, $d_{intensity}$ 越小说明 \vec{x} , \vec{y} 在强度上的相似度越高.

综上所述,ESBD 取值范围为[0,2],ESBD 越小表明两指标在某强度因子 α 控制下的相似度越高.在本文,设置强度因子 $\alpha = 0.5$.并以d = 1.0作为 ESBD 的相似阈值.

3 KEWS 流量模拟质量评估方法(KEWS)

3.1 指标预处理

指标预处理对原始指标数据进行一系列的加工处理.如图 3 所示,预处理流程一共分为 5 个步骤:数据填补,数据差分,数据聚合,数据滤波,数据标准化.值得注意的是,用于指标评估的指标数据不需要经过数据标准化的预处理步骤.

数据填补,对指标数据因系统的偶然错误而出现的缺失值进行填补.经统计,指标中的缺失值通常都以零散点形式(而非成段)出现且出现概率低.因此,直接应用简单而高效的方法填补缺失值:对位于首尾的缺失值用相邻值填补,对位于中间位置的缺失值应用线性插值填补.

数据差分,对累积型指标数据计算一阶差分以凸显其变换特征.通过指标名称后缀(如"total","sum","count"等)筛选出累积型指标,对其计算一阶差分: $\Delta \vec{x} = \{ [\vec{x}]_{i+1} - [\vec{x}]_i \}_{i=1}^{m-1} = \{ x_2 - x_1, x_3 - x_2, ..., x_m - x_{m-1} \} \in \mathbb{R}^{m-1}$,再在 $\Delta \vec{x}$ 末位填补相邻值,即累积型指标 $\vec{x} := \{ x_2 - x_1, x_3 - x_2, ..., x_m - x_{m-1}, x_m - x_{m-1} \} \in \mathbb{R}^m$.

数据聚合、对指标数据进行聚合以匹配数据点间隔和时间跨度的同时降低指标长度.不同的时间跨度对应

着不同的分析粒度,即在宏观的时间跨度下应使用相对宏观的时间间隔(如一年对应着一天而非一分钟或一小时).假设 τ 为合适的时间间隔, Δt 为指标默认时间间隔,聚合指标 $\vec{x} \in \mathbb{R}^m$ 为 $\vec{y} \in \mathbb{R}^{m'}$: $[\vec{y}]_j = \sum_{i=1}^p [\vec{x}]_i$,其中 $j \in [1,m']$, $p = \lfloor \frac{\tau}{\Delta t} \rfloor$, $m' = \lfloor \frac{m}{p} \rfloor$.如此还可以减少由于数据记录的细粒度产生的"噪声",实现平滑曲线的效果.

数据滤波,应用卡尔曼滤波^[9] [10] 进一步消除指标数据噪声.数据聚合只能部分消除因数据细粒度记录所产生的"噪声".为了消除指标数据中存在的随机噪声,使用卡尔曼滤波平滑指标数据.

数据标准化,对指标数据进行标准化以消除不同指标间的量纲差异.不同量纲的指标间可能存在某种潜在的联系,而指标聚类只考虑指标形状上的相似.因此,为了保证不同指标之间的可比性,对指标数据进行标准化: $\hat{x}_i = \frac{\vec{|x}_i - \mu_x}{\sigma_x}$.

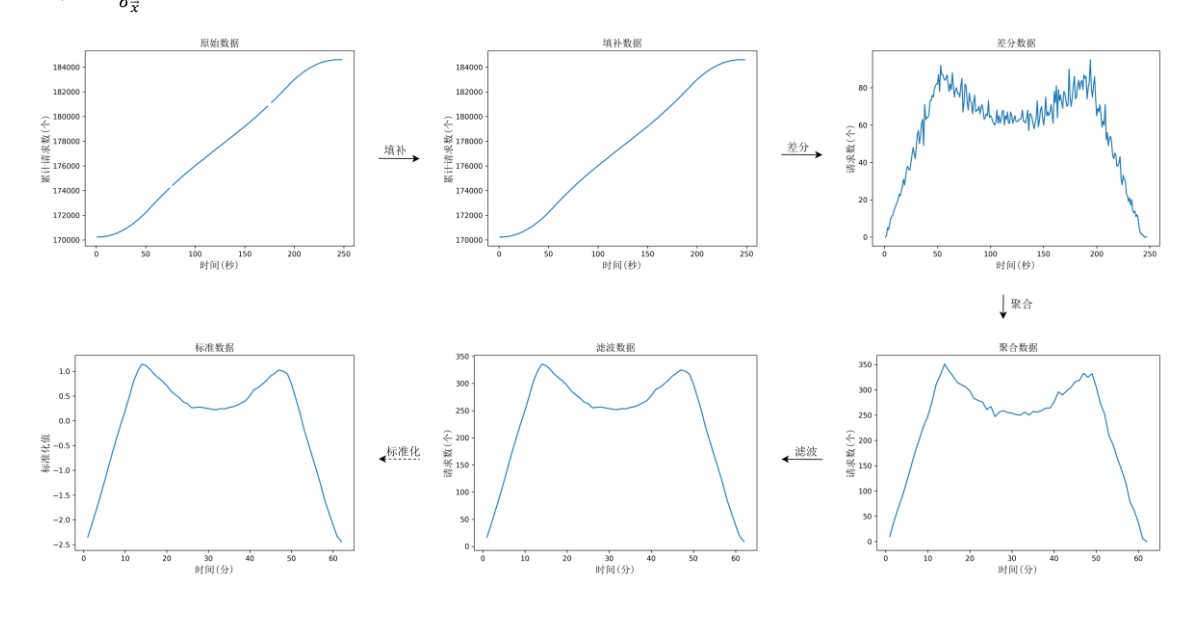


图 3 数据预处理过程

3.2 指标筛选

在流量模拟任务中,不同的流量模式往往代表了不同的业务逻辑,即在流量模拟任务中,更需要考虑业务相关的指标.因此我们以与业务的相关程度对指标进行筛选,从指标全集K中划分出业务强相关指标集 K_s 和业务弱相关的指标集 K_w ,其中 $K_s \cup K_w = K$.这里所定义的业务强相关指标为几乎只与业务相关,而不受其他业务无关的因素影响的指标.

指标筛选分为两个部分:领域知识粗筛和干扰实验细筛.

3.2.1 领域知识粗筛

在微服务系统中,指标通常由两种属性来描述其所测量的事物特征,细粒度的标签属性和粗粒度的域属性 (抽象共性).标签属性描述了指标测量事物的具体特征,而域属性表示了指标测量事物的类别特征,如指标应用来源(ENVOY, ISTIO),指标监控层级(NODE, NETWORK).因此,根据域属性值判断指标与系统业务的相关程度,从而实现对指标的粗粒度筛选,即领域知识粗筛,得到粗粒度指标集 K_c .

3.2.2 干扰实验细筛

由领域知识粗筛得到的粗粒度指标集 K_c 包含了业务强相关指标,同时也包含了业务弱相关指标,即 $K_s \subseteq K_c, K_w \cap K_c \neq \emptyset$.为了进一步细化区分业务强弱相关的指标集,在领域知识粗筛的基础上,通过干扰实验细粒度

地筛选出业务强相关的指标集 K_s .干扰实验在不同环境下的系统注入相同流量后,通过比较系统指标的差异,实现对指标集的细粒度划分.

干扰实验分为两组对照组和一组实验组,对照组作为比较的基准,不加入任何的干扰,而实验组则加入与业务无关的不规则干扰 $\vec{\delta}$.对于某一指标k,对照组的指标实例为 $\vec{x_1}$ 和 $\vec{x_2}$,实验组为 $\vec{x'}$,理想状态下, $\vec{x_1}$, $\vec{x_2}$, $\vec{x'}$ 间的关系可以写成:

$$\vec{x}_2 = \vec{x}_1
\vec{x}' = \vec{x}_1 + \lambda \vec{\delta}$$
(7)

其中, $\lambda \in [0,1]$ 为干扰程度, λ 越大表示k受 δ 影响越大,即k与业务相关程度越小.但实际上, $\vec{x_1}$, $\vec{x_2}$, $\vec{x'}$ 关系应写成:

$$\vec{x}_{2} = \vec{x}_{1} + \vec{\varepsilon}$$

$$\vec{x}' = \vec{x}_{1} + \lambda \vec{\delta} + \vec{\varepsilon}'$$

$$\vec{\varepsilon} \neq \vec{\varepsilon}'$$
(8)

然而,我们既不能分别精确计算出 λ 和 $\vec{\delta}$,由于系统的误差和相位偏移的存在,也无法通过 $\vec{x}' - \vec{x_1}$ 精确计算得到 $\lambda \vec{\delta}$ 的乘积.为此,以 ESBD 作 $\lambda \vec{\delta}$ 的近似计算,即使用 ESBD 间的差异衡量指标与业务相关程度.分别计算对照组间的 ESBD,对照组与实验组的 ESBD, $d(\vec{x_1},\vec{x_2})$, $d(\vec{x_1},\vec{x'})$, $d(\vec{x_2},\vec{x'})$,记为 d_0 , d'_1 , d'_2 .

为了减少系统误差对干扰实验的影响,定义干扰系数用于描述指标受干扰的程度,如下式:

$$r = \frac{e^{d_1' + d_2'}}{e^{2d_0}} \tag{9}$$

对干扰系数r作如下式变化,统一描述指标受正向干扰(增大)和受反向干扰(减小)的程度:

$$r = \begin{cases} r, r \ge 1\\ \frac{1}{r}, r < 1 \end{cases} \tag{10}$$

当干扰系数r满足如下条件时:

$$r \le 1 + \gamma \tag{11}$$

认为该指标为业务强相关指标,否则为业务弱相关指标,即 $k \in K_s, k \notin K_w$.其中, $\gamma \in (0, +\infty)$ 为干扰强度阈值,是与不规则干扰 δ 相关的超参数.在本文的后续实验中,设置干扰强度阈值 $\gamma = 0.1$.

遍历所有指标 $k \in K_c$,一一判断是否满足上述条件,即得到强相关指标集 K_s ,同时得到弱相关指标 $K_w = K - K_s = K_c^c$.

3.3 指标聚类

指标筛选实际上是一个选择过程,从指标全集中挑选出了业务强相关指标子集 K_s .在微服务系统中,业务弱相关指标数量往往远比业务强相关指标多,即 $|K_w| \gg |K_s|$,同时一个逻辑对象或物理对象由多种指标从不同的维度来监测其状态信息,即许多指标都有某种潜在的联系,而表现出一定的相似性.因此在指标筛选后,通过对业务弱相关指标进行聚类,每个类簇取质心指标组成弱相关指标集 K_w ,从而进一步降低业务弱相关指标数量的同时保留充足的信息,以保证业务弱相关评估的有效性.

聚类算法在特定任务上的效果不仅与聚类算法本身相关,而且与相似性度量算法相关[11] .基于指标的特性,采用了合适的相似性度量算法和聚类算法.

3.3.1 DTW 相似性度量

欧氏距离、DTW、SBD 是在时间序列聚类中常用的基于形状的相似性度量[11] .相比于欧氏距离,DTW 和SBD 能够处理时间序列间的相位偏移.

假设 $\vec{x}, \vec{y} \in \mathbb{R}^m$ 表示两长度为m的时间序列,则 $DTW^{[0]}$ 动态规划状态转移方程为:

$$wps[i,j] = (\vec{x}_{i} - \vec{y}_{i})^{2} + min\{wps[i,j-1], wps[i-1,j], wps[i-1,j-1]\}$$
(12)

其中,wps为状态矩阵,DTW 计算结果为状态矩阵第m,m个元素,即 $dtw(\vec{x},\vec{y}) = wps[m,m]$.SBD 的计算原理如第 2 章所示.

不同的指标的相似片段可能存在长度不一致的情况,DTW 通过扭曲时间实现长短不一相似片段的匹配,而基于互相关的 SBD 无法解决这个问题.因此,DTW 往往能够得到更好的度量结果,但也需要更高的时间复杂度, $O_{atw}(m^2) > O_{sbd}(m\log m)$.幸运的是,有许多针对 DTW 的优化方法研究,如 PrunedDTW^[12],UCR-DTW^[13], FastDTW^[14],SparseDTW^[15],LB_Keogh^[16],LB_Improved^[17]等.其中,约束 DTW(cDTW),即限制 DTW 的搜索空间,是一种简单而又有效的优化方法,如 Sakoe - Chiba Band^[5]。cDTW 不仅能加速 DTW 的计算,而且能够防止错误的时间扭曲,提高 DTW 计算的准确度^[18]。本文使用 PrunedDTW 中提出的上界剪枝方法结合 Sakoe - Chiba Band 作为 DTW 的搜索约束,以加速 DTW 的计算。

另外,在本文所提出的流量模拟质量评估方法中,指标聚类旨在减少弱相关指标的数量,以获得经压缩的弱相关指标集 K_w .在系统未进行大规模变更下, K_w 不必重新计算.因此,牺牲一定的计算性能来换取更佳的度量在该指标聚类任务中是一个合理的选择.

3.3.2 参数估计的 DBSCAN 聚类

本文选择基于密度的聚类中最常用的算法——DBSCAN^[8],作为指标聚类算法:首先,DBSCAN 无需指定聚类数量k,就能将高密度区域构建为类簇;其次,DBSCAN 可以利用形状相似的传递性,扩展类簇从而捕获得到各种形状和各种大小的类簇;再者,DBSCAN 的时间复杂度仅是线性对数时间,即 $O(n\log n)$;最后,DBSCAN 基于指标数据的聚类的有效性已在不少研究中得到了验证,如 ROCKA^[5],DDCOL^[19],TPC^[20].

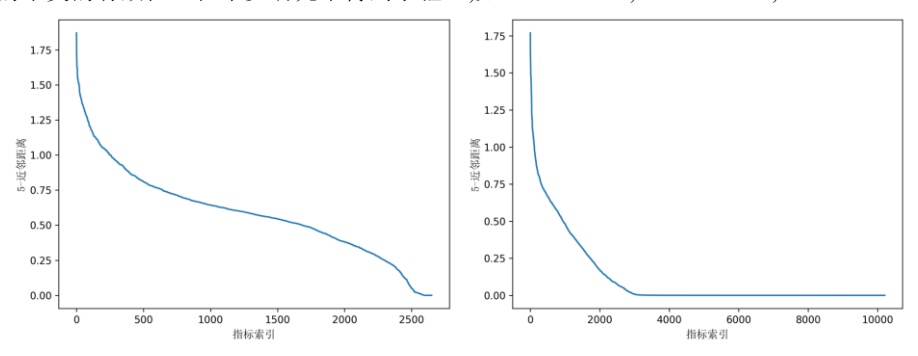


图 4 DTW 度量的 k 近邻距离曲线 (k = 5)

DBSCAN 有两个全局参数:密度半径 Eps和邻域最少点数 MinPts. DBSCAN 的核心思想是寻找满足 $|N_{Eps}(p)| \ge MinPts$ 的核心点,并利用形状相似的传递性将相近的核心点邻域连接形成类簇.

$$N_{Eps}(p) = \{ q \in K_w \mid \operatorname{dist}(p, q) \le Eps \}$$
 (13)

如 DBSCAN^[8] 中所述,当*MinPts* > 4时,其聚类结果不会发生显著变化.我们将*MinPts*设置为固定值 5. *Eps*值通常根据 k 近邻距离图(k-distance graph)来确定.k 近邻距离指某数据点(时间序列)与其第 k 近邻点的相似性度量距离.根据 k 近邻距离以升序或降序排列所有数据点,构成了如图 4 所示的 K 近邻距离图,其中的曲线称为 k-dist 曲线.当k = *MinPts*时,*Eps*值在 k 近邻距离图中划分出了核心点和非核心点(*Eps*值以下为核心点,*Eps*值以上为异常点或边界点).换言之,合理的*Eps*值应该足够小以使得核心点与其邻域内的其他点尽可能相似,但也要避免因*Eps*值过小,导致信息的丢失以及类簇数量过多.目前,主要有两种在 k 近邻距离图中搜索合适的*Eps*值的思路,如 ROCKA 将 k-dist 曲线的平坦区域视作*Eps*的候选值,而 DDCOL 寻找 k-dist 曲线转折点作为*Eps*取值.对于如图 4 右所示的数据集来说,DDCOL 的转折点算法所得到的*Eps*值会非常接近于 0,而 ROCKA平坦区域算法可以得到非 0 平坦区域的候选值,但会因为递归深度过大而影响算法效率.为此,我们优化并应用ROCKA中提出的密度半径估计算法.

算法 1:优化的 ROCKA 密度半径估计

```
输入:倒序排列的 K 近邻距离图 k dist;
密度半径上界 max radius;
最小的满足 k dist[left] \leq max radius 的左端点 left;
末索引(右端点)right;
区间长度阈值 len thresh;
变化率阈值 slope thresh;
变化率差异阈值 slope diff thresh;
输出:候选半径索引列表 candidates;
FUNCTION find_candidate_radius(k_dist, left, right, candidates):
  if right - left < len thresh then:
      return //搜索的区间过小
  if left < 0 or right < 0 then:
      return //上一步未能找到平坦区域
  index \leftarrow -1:
  diff \leftarrow max\_radius;
  for i \leftarrow (left + 1) to right do //遍历区间搜索平坦区域
      left slpoe ← -(k dist[i] - k dist[left]) / (i - left); // 与左端点变化率
      right slpoe ← -(k dist[i] - k dist[left]) / (i - left); // 与右端点变化率
      if left_slope > slope_thresh and right_slope > slope_thresh then:
          continue //变化率过大当前为陡峭区域
      end
      if | left_slope - right_slope | < diff then: //当前点附近区域较之前更为平滑
          diff \leftarrow |left\ slope - right\ slope|;
          index \leftarrow i:
      end
  end
  if diff < slope diff thresh then:
      candidates.append(index); //搜索到在该点附近的平坦区域
  end
  find_candidate_radius(k_dist, index, right, candidates); // 递归搜索右区间所有候选点
  for i ← index to left do: //从当前平坦区域向前搜索,寻找陡峭区域
      if k\_dist[i] - k\_dist[index] > diff then:
          index ← i; //搜索得到非平坦区域点
          break
     end
  end
  find_candidate_radius(k_dist, left, index, candidates); // 递归搜索左区间所有候选点
```

ROCKA 密度半径估计算法利用最大半径阈值(max_radius,如 1.0)使得密度半径足够小以确保指标近邻间足够相似. ROCKA 通过判断 k 近邻距离图中各点与左端点和右端点变化率之差是否小于一个阈值(slope_diff_thresh,如 0.01),来判断该点是否处于一个平滑区域;并通过设置该点与左端点或右端点的变化率阈值(slope_thresh,如 0.1),将平滑区域限制为平坦区域.处于平坦区域的点视作为候选点;再通过分而治之的策略,在以候选点分割的左右区间搜索所有候选点.不难发现,在庞大的指标数据集中,k 近邻距离图如图 4 右所示,横纵轴数值大小差异很大(距离小而数量多)且存在大量的非常相似(距离接近 0)的指标.这会导致 ROCKA 的分而治之的策略从最右侧开始向左侧逐步分治(最右端的左右端点变化率差异最小),使得算法的时间复杂度接近 0(n²).为此,如算法 1 所示,优化了 ROCKA 密度半径估计算法,并使其适用于 DTW 相似性度量.

为了提高算法的效率,避免过多的递归,主要考虑对右端点区间的优化:调换了左右区间的递归顺序,并在递归搜索左区间前使右端点离开上一平坦区域以避免重复计算.

另外,由于指标聚类的目标并非得到准确的类簇,而是为了降低指标数量.为了进一步降低聚类的时间复杂度,以域属性为单位数据集进行聚类,即分块聚类,同时也能减少信息的丢失.

在 DBSCAN 得到一系列类簇之后,需要对各个类簇计算其质心作为用于评估代表性指标.以类簇内 DTW 距离和最小的指标作为类簇的质心指标:

$$\vec{z}_i = \arg\min_{\vec{x} \in \text{cluster}_i} \sum_{\vec{v} \in \text{cluster}_i} DTW(\vec{x}, \vec{y})$$
(14)

由此,各个类簇质心所表示的指标 $k_i \in K_w$ 组成了经过降维的弱相关指标集 K_w .

3.4 指标评估

指标评估基于**指标筛选**和**指标聚类**所得到的强相关指标集 K_s 和弱相关指标集 K_w ,分别计算模拟流量和原始流量指标间的 ESBD,再通过聚合处理,得到流量模拟质量评估结果.

考虑到强相关指标和弱相关指标在与流量模式的相关程度上的差异,指标评估对两者采用了不同的处理 方法.

3.4.1 弱相关指标评估

对于弱相关指标集中的第i个指标($i=1,2,...,|K_w|$),其在原始流量和模拟流量下的指标分别为 $k_i,k_i^{'}$,计算两

者间的 ESBD,即 $d(k_i, k_i)$,记为 d_i ,再如下式所示聚合:

$$d_{w} = \frac{1}{n_{w}} \sum_{i=1}^{n_{w}} d_{i}, n_{w} = |K_{w}|$$
(15)

即以弱相关指标的 ESBD 的算术平均 d_w 表征模拟流量与原始流量在弱相关指标上的距离,再经过如下归一化处理,得到对应的弱相关评估相似度表示:

$$E_w = \frac{\mu_w}{\mu_{vv} + d_{vv}} \tag{16}$$

其中,μw为弱相关相似阈值,表示了以 ESBD 描述的 KPI 距离的大小分界值.

3.4.2 强相关指标评估

不同于弱相关指标,强相关指标监控系统各个具体业务的运行状态,即强相关指标的差异体现了流量模式的差异.作为模拟流量质量评估的主要依据,强相关指标的评估需要进行更细粒度的聚合处理.

流量模式通常包含了对多种具体业务的调用,根据业务类别,将强相关指标集K。划分为若干个业务子集K!:

$$\bigcup_{l=1}^{m} K_s^l = K_s \tag{17}$$

其中.m为业务类别数量、以业务调用的频率作为业务l的权重 ω_1 :

$$\sum_{l=1}^{m} \omega_l = 1.0 \tag{18}$$

类似于弱相关指标,对于强相关指标 $k_i \in K_s$,可以如下式所示聚合:

$$d_{s} = \sum_{l=1}^{m} \omega_{l} \left(\frac{1}{n_{s}^{l}} \sum_{j=1}^{n_{s}^{l}} d_{j} \right), n_{s}^{l} = |K_{s}^{l}|$$
(19)

得到强相关指标评估距离 ds,通过如下归一化处理,得到强相关指标评估相似度:

$$E_s = \frac{\mu_s}{\mu_s + d_s} \tag{20}$$

其中, μ_s 为强相关相似阈值,表示了以 ESBD 描述的 KPI 距离的大小分界值,一般情况下,可令 $\mu_w = \mu_s$.

最后,将弱相关评估相似度 E_w 和强相关评估相似度 E_s 以强相关因子 β 进行加权,得到流量模拟质量的相似度

评估结果E:

$$E = (1 - \beta)E_w + \beta E_s, \beta \in (0,1]$$
(21)

4 实验与分析

4.1 实验环境

基于谷歌开源云原生微服务系统——Hipstershop,进行流量模拟的实验. Hipstershop 是一个典型的在线电子商务应用系统,广泛用于微服务操作的研究.其由 10 个分别用 Java、Python、Go、Node.js 和 C#编写的微服务组成,并提供一个额外的微服务用于原始流量的生成.

系统	组件	数量	细节
	物理主节点	4	64-core 2.30GHz CPU, 64GB RAM
	物理节点	4	4-core 2.66GHz CPU, 8GB RAM
	虚拟节点	4	4-core 2.10GHz CPU, 16GB RAM
Kuhernetes	Hipstershop	-	每个微服务部署了 4 个 pod 副本
Kuberneies	Elasticsearch	-	version 7.13.2
	Filebeat	-	version 7.13.2
	Prometheus	-	version 2.10.0
	Jaeger	-	version 1.28
KEWE	物理机	1	64-core 2.40GHz CPU, 64GB RAM
KEWS	Python	-	version 3.6.9

表 1 部署环境细节

我们将 *Hipstershop* 部署在开源的云原生系统 *Kubernetes* 中,包含了 5 台物理机和 4 台虚拟机.部署使用的监控工具包括 *Elasticsearch、Filebeat、Prometheus、Jaeger*,它们用于监控数据的收集.我们用 Python 实现了KEWS,并部署在另一台物理机上.部署环境的细节如表 1 所示.

4.2 流量模拟流程

使用开源的负载测试工具 K6 生成 Hipstershop 原始流量.原始流量中的用户行为序列由 19 个用户行为组成(包含了 Hipstershop 的全部业务),每个用户行为的间隔(用户思考时间)服从均匀分布U(1,5).K6 注入运行时间设置为 60 分钟.如图 5 所示,本文设置的负载场景分为三种,分别为凹型流量、递增型流量、稳定型流量,覆盖了峰值、增减、平稳等常见负载特征,且每种场景都设置了三种不同的负载强度(峰值分别为 50,75,100).其中,为了更好判断用户行为序列的起止时间, K6 开始和结束的虚拟用户数量均设置为 0.

另外,为了保证用户行为序列的完整性,当 *K6* 达到预设的运行时间或用户数量需要降低时,用户行为不会被强行中止而是会等待用户行为完成.因此,实际上的原始流量持续时间会稍大于 60 分钟.本文均以 62 分钟的时长捕获指标数据.

本文应用 LWS^[21] 进行流量模拟以生成模拟指标数据.LWS 提取原始流量日志数据中的 session 作为用户行为序列样本,聚类划分不同的用户行为,利用时序不变量构建用户行为关系模型,从而实现用户行为的抽象化.LWS 拟合**原始流量**负载强度并从用户行为关系模型中采样得到独立的用户行为序列,从而生成具体的**模拟流量**,注入到 *Hipstershop* 系统中.

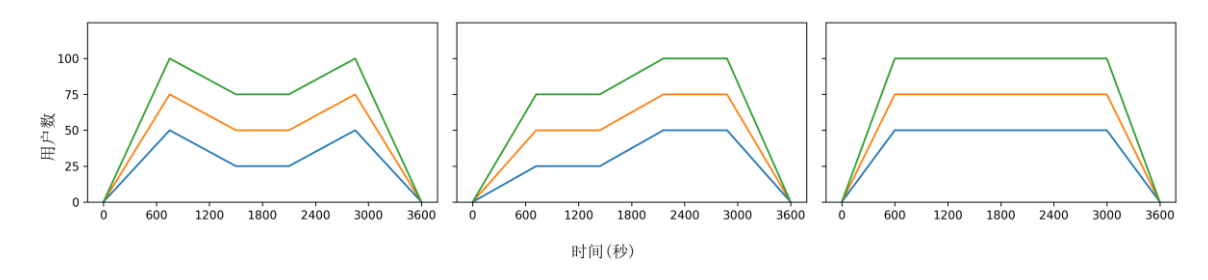


图 5 K6 负载强度曲线

我们利用 Elasticsearch 和 Filebeat 采集**原始流量**日志数据用于流量模拟,利用 Prometheus 捕获**原始流量**和**模拟流量**的指标数据,用于流量模拟质量评估.

4.3 实验结果与分析

为了验证面向指标数据的流量模拟质量评估方法的有效性,我们研究了以下三个问题:

RQ1:ESBD 是否能够有效描述形状和强度的相似性?

RQ2:KEWS 是否能够有效筛选强相关指标和聚类弱相关指标?

RQ3: KEWS 是否能够准确评估流量模拟指标质量?

4.3.1 RQ1:ESBD 的有效性

通过控制指标数据的形状和强度来体现 ESBD 相似性的变化趋势.由于开源的指标数据集难以满足形状和强度控制的需求,利用指标数据生成算法, TSAGEN^[22]来进行 ESBD 有效性的验证实验.

表 2 TSAGEN 参数细节

组成部分	参数	描述	生成
趋势项	$ heta_1$	截距	$tr_t = \theta_1 + \theta_2 \times l_t$
起努坝	θ_2	斜率	其中. $l_t = (1,2,3,)$
	θ_3	幅度	
	$ heta_4$	频率	
	θ_5	周期数	$seas_t = \sum_{i=1}^{\theta_5} \left(\theta_3 * a_i \right) cycle_{t,i,\frac{f_i}{\theta_4}}$
季节项	k_1	幅度偏移程度	$a_i \sim U(1,1+k_1), k_1 \in [0,+\infty)$
	k_2	频率偏移程度	其中, $f_i \sim U(1,1+k_2), k_2 \in [0,+\infty)$ $cycle_{t,i,j} = sample_{t,i}(RMDF(d_1,d_2),j)$
	d_1	递归深度	$c_{j,i,j} = sumple_{t,i}(nmDT(u_1,u_2),j)$
	d_2	分叉深度	
	θ_6	偏度	
噪声项	θ_7	均值	$noise_t = Gamma(\theta_6, \theta_7, \theta_8)$
	θ_8	方差	

TSAGEN 是一种时间序列生成工具,用于生成可控、异常的指标数据.而在 ESBD 有效性验证实验中,仅使

用 TSAGEN 生成可控的正常指标数据.TSAGEN 模块化地生成指标数据的各个组成部分(趋势项、季节项、噪声项),采用加法模型将各个成分组合起来,如下式所示:

$$x_t = tr_t + seas_t + noise_t \tag{22}$$

各个组成部分的细节和相关参数如表 2 所示.其中, tr_t 为线性趋势项,由截距 θ_1 和斜率 θ_2 决定. $seas_t$ 为季节项,其由 θ_5 周期连接组成(Σ Θ),每个周期均由随机中点位移分形(RMDF^[23])控制生成, θ_3 表示周期的幅度, θ_4 表示周期的频率(周期长度的倒数),而 a_i 和 f_i 分别为服从均匀分布 $U(1,1+k_1)$ 和 $U(1,1+k_2)$ 的偏移系数.递归深度 d_1 为RMDF 曲线的总递归深度,而分叉深度 d_2 用于控制 RMDF 曲线形状的差异程度(分叉深度越大,曲线间的差异就越大). $noise_t$ 为皮尔逊 \mathbb{H} 型分布(Γ 分布)生成的噪声项,由参数偏度 θ_6 ,均值 θ_7 ,方差 θ_8 所控制.

根据 TSAGEN 的参数,可以分析得到,截距 θ_1 、斜率 θ_2 、幅度 θ_3 为主要的控制生成指标数据强度的参数,而指标数据形状的差异主要由周期数 θ_5 和分叉深度 d_2 所描述.

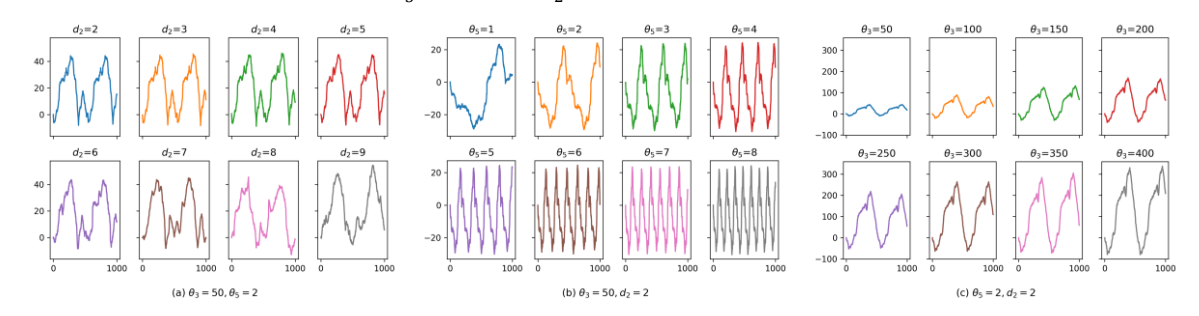


图 6 TSAGEN 指标数据示例

为了避免指标数据不同组成部分间的加性影响,本实验以季节项参数幅度 θ_3 、周期数 θ_5 、分叉深度 d_2 作为指标数据强度和形状的变化自变量,验证 ESBD 描述强度和形状相似性的有效性.TSAGEN 的其他参数设置如下:

$$\theta_1 = 0, \theta_2 = 0.001, k_1 = 0.1, k_2 = 0.1, d_1 = 10, \theta_6 = 0, \theta_7 \sim U(0, 0.5), \theta_8 = 0$$

如图 6 所示分别为三组 TSAGEN 生成的指标数据示例.其中(a)为参数 θ_3 = {50,100,150,200,250,300,350,400}, θ_5 = 2, d_2 = 2下的指标强度变化,(b)(c)分别为参数 θ_3 = 50, θ_5 = {1,2,3,4,5,6,7,8}, d_2 = 2和 θ_3 = 50, θ_5 = 2, d_2 = {2,3,4,5,6,7,8,9}的指标形状变化.

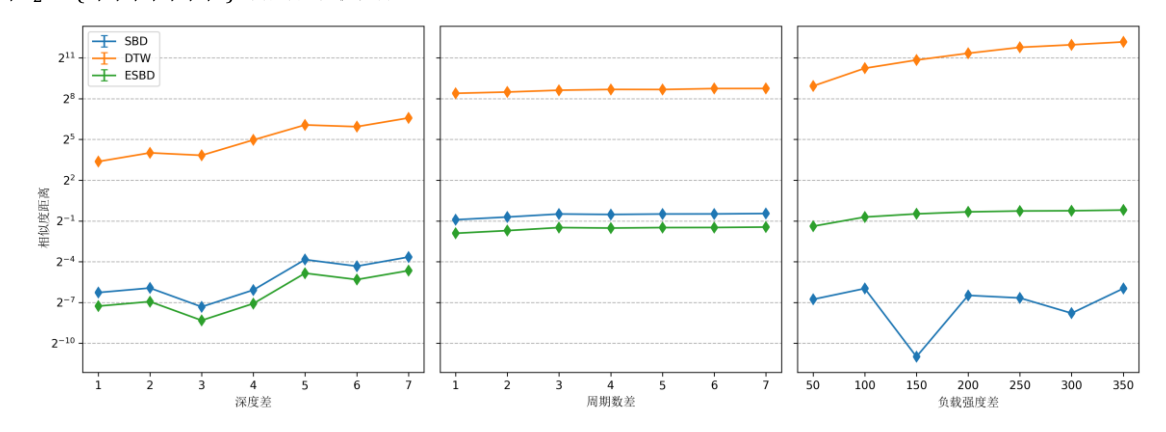


图 7 \log_2 尺度下相似性度量分别随 d_2 , θ_5 , θ_3 的变化趋势

使用 TSAGEN 生成的指标数据,分别计算各组指标与各组内基准指标(各自变量参数中的最小值,如 $\theta_3 = 50$, $\theta_5 = 1$, $d_2 = 2$)间的 SBD、DTW、ESBD,展现不同相似性度量随着强度(形状)自变量差异变化的变化趋势.

为了减少偶然误差带来的影响,每组实验均重复 10 次,计算各个相似性度量的均值和标准差,实验结果如图 7 所示.

三种相似性度量在log₂尺度下具有相似的**形状差异**变化趋势.相比于深度,周期数的差异三种相似性距离的变化会更加显著.如图 7 所示,长度一致的指标数据的各个周期长度随着周期数的增加而减少,而 SBD、DTW、ESBD 能通过滑窗或扭曲长度的方法进行特征片段的匹配,从而削弱了周期数差异对于其所描述形状的变化程度.而缺少归一化的 DTW 的变化幅度和数值都远远大于 SBD 和 ESBD.另一方面,相较于 DTW 和 ESBD,SBD 在log₂尺度下展现出了平稳的**强度差异**变化趋势,即无法描述指标强度的变化.同样的,DTW 的变化幅度和数值都远远大于 SBD 和 ESBD.这使得 DTW 无法在不同的场景中以相同的尺度描述指标间的相似性距离.

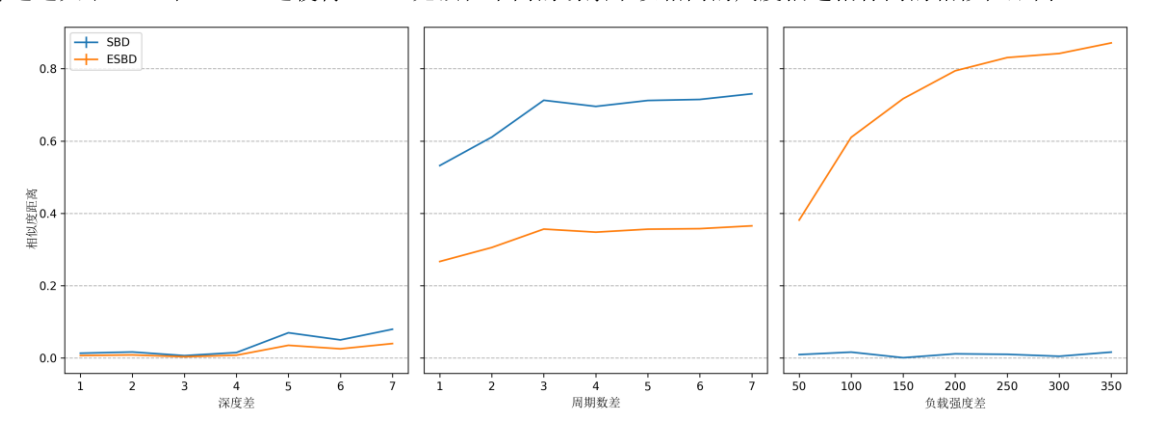


图 8 线性尺度下相似性度量随 d_2 , θ_5 , θ_3 的变化趋势

由于 DTW 与 SBD、ESBD 的尺度差异,无法在图 7 中清晰体现 SBD 与 ESBD 的变化差异.图 8 为 SBD 与 ESBD 在线性尺度下强度和形状的变化趋势.

SBD 与 ESBD 具有一致的形状差异变化趋势,说明 ESBD 附加的强度差异没有破坏 SBD 描述的形状差异. 与从图 7 中得到的结论类似,SBD 无法描述指标间的强度差异,而 ESBD 能够以一种非线性,可收敛的趋势描述了指标间的强度差异.

综上,通过对比 SBD、DTW、ESBD 描述指标形状和强度差异的变化趋势,验证了 ESBD 描述形状和强度的有效性.

4.3.2 RO2:指标筛选和指标聚类的有效性

指标筛选通过领域知识粗筛和干扰实验细筛两步从指标集中筛选出强相关指标,指标聚类则从强相关指标绝对补集聚类得到主要的弱相关指标.为了验证强相关指标集和弱相关指标集的有效性,依次分析指标筛选、指标聚类实验结果的有效性.

4.3.2.1 指标筛选的有效性

根据局部性原理以及 *Hipstershop* 系统的微服务架构,我们认为绝大多数的强相关指标会集中在某几类域属性中,因此,以域属性为单位进行领域知识粗筛以及干扰实验细筛.

领域知识粗筛

根据 Prometheus 的指标命名规则和云原生系统 Kubernetes 的相关知识,分析了 Hipstershop 系统中产生的指标数据涉及所有域属性其描述的内容以及其是否与业务强相关,结果如表 3 域属性集所示.

考虑到 Hipstershop 是一个在线电子商务应用系统,其主要的业务与网络流量相关,将监控管理网络流量的 Kubernetes 组件或应用的域属性视为强相关指标集候选.同时,Hipstershop 可能存在一定的资源密集型服务,为此,将 Kubernetes 资源的域属性列为强相关指标集候选.

表 3 域属性集

域属性	描述	强相关
aggregator	Kubernetes 组件,用于扩展 Kubernetes API	
apiserver	Kubernetes 组件,用于验证证并配置 API 对象的数据	
authenticated	Kubernetes 组件,用于 Kubernetes 集群用户身份认证	
authentication	Kubernetes 组件,用于 Kubernetes 集群用户身份认证	
cadvisor	Kubernetes 组件,用于监控节点和容器资源	
citadel	istio 组件,用于提供 istio 相关安全服务	
container	Kubernetes 资源,容器资源	√
coredns	Kubernetes 组件,用于 Kubernetes 服务发现	
endpoint	Kubernetes 资源,实际服务的端点集合	
envoy	Kubernetes 应用,istio 服务网格代理	
etcd	Kubernetes 组件,键值存储数据库	
galley	istio 组件,用于管理、验证配置信息	
get	Kubernetes 应用,监控身份令牌获取	
go	Kubernetes 应用,调用 Kubernetes 集群 API	
grafana	Kubernetes 应用,用于可视化监控数据	
grpc	Kubernetes 应用,监控 grpc 服务	4
http	Kubernetes 应用,监控 http 请求	√
istio	Kubernetes 组件,服务网格,用于管理流量	√
kube	Kubernetes 集群, 监控 Kubernetes 自身状态	
kubelet	Kubernetes 节点管理组件	
machine	Kubernetes 配置,记录各个节点配置信息	
net	Prometheus 组件,用于监控 Kubernetes 各组件的网络情况	
node	Kubernetes 资源,虚拟机或者物理机器	√

干扰实验细筛

使用开源的云原生混沌工程平台 *ChaosMesh* 作为干扰实验注入不规则干扰的工具,基于领域知识粗筛的结果,通过干扰实验,计算比较各个域属性的干扰系数,得到最终的强相关指标集.

本实验以**凹型流量**作为实验负载场景,使用 K6 向 Hipstershop 系统注入三种负载强度的原始流量,并只在实验组中加入干扰.ChaosMesh 干扰设置如下:

- ◆ 间隔时间:20 分钟
- ◆ 持续时间:3 分钟
- ◆ 干扰范围:20% pods
- ◆ 注入干扰:5% CPU 负载,64MB 内存占用

为了减少系统误差的影响,分别进行了 a、b、c 三组实验,实验结果如表 4 所示.

表 4 干扰实验结果

					干扰	系数r				
域属性	强度I			强度II			强度III			平均
	a	b	c	a	b	c	a	b	c	十均
container	1.202	1.176	1.186	1.170	1.173	1.154	1.167	1.149	1.168	1.172
grpc	1.002	1.002	1.003	1.003	1.004	1.005	1.002	1.002	1.001	1.003
http	2.337	2.012	1.795	3.719	4.335	1.354	4.985	1.0	1.0	2.504
istio	1.064	1.133	1.090	1.078	1.088	1.084	1.081	1.123	1.086	1.092
node	1.189	1.183	1.182	1.166	1.177	1.164	1.177	1.174	1.177	1.177

从结果可以看出,grpc 和 istio 为由干扰系数r和干扰强度阈值y所描述的强相关指标集,且两者的干扰系数

远小于其他的域属性.由于系统误差和设备性能受限的影响,istio 的干扰系数会出现一定程度的波动.另外,http 的干扰系数的异常波动,说明 http 域属性不仅与业务无关(干扰系数过大),而且其不受所设置的干扰影响(干扰系数为 1.0).

通过对各个域属性的各个指标数据的逐一分析,得到了一致的强相关指标集结果:container 域属性下指标数据记录了 pod 级别的资源状态,node 域属性下指标数据记录了 node 级别的资源状态,而 istio 域属性下指标数据记录了 service 级别的资源状态.由于 *Hipstershop* 不同微服务调用 grpc 请求服务,且 http 记录了可视化工具 *Grafana* 的相关请求响应信息,因此 grpc、istio 域属性为 *Hipstershop* 系统的强相关指标集,而 container、node、http 为弱相关(无关)指标集.

综上,通过领域知识粗筛和干扰实验细筛,得到了 *Hipstershp* 系统的强相关指标集(gprc,istio),并根据对具体指标数据的分析结果,验证了强相关指标集(指标筛选)的有效性.

4.3.2.2 指标聚类的有效性

基于上述指标筛选得到的非强相关域属性集进行聚类,分别计算得到各个域属性的质心指标作为后续指标评估的弱相关指标集.本实验以**凹型原始流量**的指标数据作为指标聚类的数据集.

在该无监督的聚类任务下,采用常用的内部(无监督)指标轮廓系数(Silhouette Coefficient)来度量聚类效果,结合直观的指标聚类图以验证指标聚类的有效性.其中,轮廓系数结合内聚度和分离度两种因素,无监督地评价聚类的效果.轮廓系数取值为[-1,1],其值越大表明聚类效果越好.

应用下采样的方法,从该域属性下所有指标中随机采样 n_sample 指标进行聚类,并在计算各类簇质心后,对未采样的指标分配到其与聚类质心 DTW 距离最小且小于 2 倍 max radius 的类簇中.

在本指标聚类实验中的主要参数设置为: $max_radius = [0.5,1.0,1.5,2.0]$, $n_sample = [250,500,750,1000]$, $slope_thresh = 0.1$, $slope_diff_thresh = 0.01$.实验结果如表 5 所示.

		max_	radius	
n_sample	0.5	1.0	1.5	2.0
250	0.937	0.873	0.805	0.733
500	0.899	0.872	0.774	0.813
750	0.864	0.817	0.726	0.824
1000	0.867	0.813	0.695	0.827

表 5 不同参数下聚类的轮廓系数度量结果

在不同的采样数量和最大半径的参数设置下,指标聚类均能得到不错的效果(轮廓系数≥ 0.69). 轮廓系数从左上到右下呈现递减趋势,即随着采样数量和最大半径的增加,轮廓系数逐渐降低.对于这一结果,我们分析推测如下,采样数量越多,最大半径越大,同一个类簇中分配的指标就越多,轮廓系数中的内聚度则越低,从而使得聚类结果松散,轮廓系数降低.虽然在max_radius = 1.0, n_sample = 500参数设置下的指标聚类轮廓系数最大,但其类簇数量往往更多且存在不同而相似的类簇.因此,实际的聚类效果不能只通过轮廓系数来度量,还需要通过聚类效果图来直观地呈现.

由于域属性数量过多,如下仅展示部分代表性域属性的聚类结果.图 9 分别为 container, envoy, node 域属性指标在max_radius = 1.0, n_sample = 500下的聚类结果.

聚类结果图直观地展现了指标聚类的有效性.其不同的域属性下均能聚类形状相似的指标,划分不相似的指标.通过 DTW 距离度量,指标聚类能够聚类存在相位偏移的形状相似指标.从图 9中,可以发现部分弱相关指标与流量紧密相关,但由于其同时也受到其他因素的影响.因此,将其视为一种弱相关指标.而其他指标则难以判断其与流量间的关系,即认为其与业务弱相关.

综上,通过客观的度量指标轮廓系数和直观的聚类结果图,验证了弱相关指标集(指标聚类)的有效性.

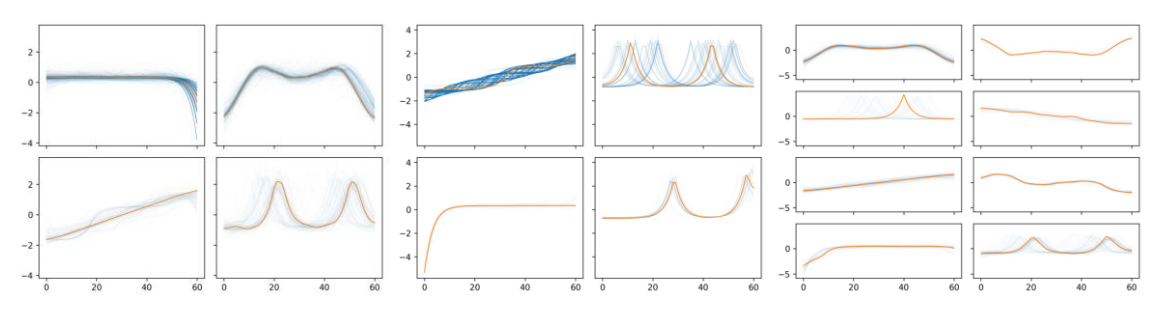


图 9 聚类结果

4.3.3 RQ3:指标评估的有效性

指标评估有效性的验证基于 RQ2 中指标筛选和指标聚类的结果,依赖于 K6 原始流量和 LWS 模拟流量在 Hipstershop 系统产生的指标数据(下分别称为原始指标数据和模拟指标数据),利用 ESBD 结合强度和形状、强相关和弱相关综合评估 LWS 流量模拟质量.

为了减少系统误差的影响,更好地评估 LWS 流量模拟的质量,以两组相同原始指标数据的评估结果作为基准,分别比较凹型流量、递增型流量、稳定型流量在三种负载强度下的评估结果.本实验以 $\mu_w = \mu_s = 0.2, \beta = 0.9$ 作为指标评估相关参数设置,使用 LWS 中计算所得的静态统计量(Static Metric)作为强相关指标评估的业务权重 ω_l .实验结果如表 6 所示.

负载强度	基准			凹型流量		递增型流量			稳定型流量			
火料强反	d_w	d_s	Ε									
I	0.071	0.004	0.989	0.026	0.049	0.954	0.068	0.012	0.982	0.076	0.055	0.945
II	0.056	0.013	0.983	0.062	0.057	0.945	0.076	0.080	0.926	0.076	0.093	0.914
III	0.074	0.009	0.984	0.054	0.012	0.983	0.031	0.058	0.947	0.113	0.069	0.931
平均	0.067	0.009	0.985	0.047	0.039	0.961	0.058	0.050	0.952	0.088	0.072	0.930

表 6 指标评估结果

基准的相似度评估结果E=0.985,说明了相同的原始流量在该指标评估下相当相似,即证明了该指标评估方法的有效性.LWS 方法生成的模拟流量相似度评估结果均大于 0.90,仅比基准分别降低 2.4%,3.3%,5.5%,且其强相关指标聚合距离 d_s 均小于 0.1,说明 LWS 方法生成的模拟流量在指标数据上与原始流量十分相似.模拟流量相似度评估结果从左到右依次降低.其主要原因在于,流量的复杂度从凹型流量到稳定型流量依次降低(平稳区间长度依次增加),而 ESBD(SBD)对平稳曲线的误差波动更敏感.另外,各组实验的弱相关指标平均聚合距离 d_w 大于强相关指标平均聚合距离 d_s ,同样也印证了强弱相关指标集的有效划分(弱相关指标会受到与流量无关的因素影响,其在不同环境下会产生更大的差异).

5 总 结

作为微服务应用运维突出研究课题的前提和基础,流量模拟是一种增强真实流量的必要任务.针对生产环境下指标数据规模庞大、维度高、数值跨度大等问题,本文提出了 KEWS 方法.其围绕本文提出的一种基于 SBD, 能够同时描述形状和强度相似性距离 ESBD. KEWS 由指标预处理、指标筛选、指标聚类、指标评估四部分组成,区分强弱相关指标的重要性,对模拟流量质量进行评估.基于 TSAGEN 的实验验证了 ESBD 的有效性,而在 *Hipstershop* 上的实验证明了 KEWS 的有效性.

References:

- [1] Bao H, Yin K, Cao L, et al. AIOps in Practice: Status Quo and Standardization. Ruan Jian Xue Bao/Journal of Software, 2023,34(9):0(in Chinese with English abstract). http://www.jos.org.cn/1000-9825/6876.htm [doi: 10.13328/j.cnki.jos.006876]
- [2] Denaro G, Polini A, Emmerich W. Early performance testing of distributed software applications[C]//Proceedings of the 4th International Workshop on Software and Performance. 2004: 94-103.
- [3] Hernández C M, Martínez A, Quesada-López C, et al. Comparison of end-to-end testing tools for microservices: A case study[C]//International Conference on Information Technology & Systems. Springer, Cham, 2021: 407-416.
- [4] Vögele C, van Hoorn A, Schulz E, et al. WESSBAS: extraction of probabilistic workload specifications for load testing and performance prediction—a model-driven approach for session-based application systems[J]. Software & Systems Modeling, 2018, 17(2): 443-477.
- [5] Li Z, Zhao Y, Liu R, et al. Robust and rapid clustering of kpis for large-scale anomaly detection[C]//2018 IEEE/ACM 26th International Symposium on Quality of Service (IWQoS). IEEE, 2018: 1-10.
- [6] Sakoe H, Chiba S. Dynamic programming algorithm optimization for spoken word recognition[J]. IEEE transactions on acoustics, speech, and signal processing, 1978, 26(1): 43-49.
- [7] Paparrizos J, Gravano L. k-shape: Efficient and accurate clustering of time series[C]//Proceedings of the 2015 ACM SIGMOD international conference on management of data. 2015: 1855-1870.
- [8] Ester M, Kriegel H P, Sander J, et al. A density-based algorithm for discovering clusters in large spatial databases with noise[C]//kdd. 1996, 96(34): 226-231.
- [9] Kalman R E. A new approach to linear filtering and prediction problems[J]. 1960.
- [10] Welch G, Bishop G. An introduction to the Kalman filter[J]. 1995.
- [11] Aghabozorgi S, Shirkhorshidi A S, Wah T Y. Time-series clustering-a decade review[J]. Information systems, 2015, 53: 16-38.
- [12] Silva D F, Batista G E. Speeding up all-pairwise dynamic time warping matrix calculation[C]//Proceedings of the 2016 SIAM International Conference on Data Mining. Society for Industrial and Applied Mathematics, 2016: 837-845.
- [13] Rakthanmanon T, Campana B, Mueen A, et al. Searching and mining trillions of time series subsequences under dynamic time warping[C]//Proceedings of the 18th ACM SIGKDD international conference on Knowledge discovery and data mining. 2012: 262-270.
- [14] Salvador S, Chan P. Toward accurate dynamic time warping in linear time and space[J]. Intelligent Data Analysis, 2007, 11(5): 561-580.
- [15] Al-Naymat G, Chawla S, Taheri J. Sparsedtw: A novel approach to speed up dynamic time warping[J/OL]. arXiv preprint arXiv: 1201.2969, 2012.
- [16] Keogh E, Ratanamahatana C A. Exact indexing of dynamic time warping[J]. Knowledge and information systems, 2005, 7(3): 358-386
- [17] Lemire D. Faster retrieval with a two-pass dynamic-time-warping lower bound[J]. Pattern recognition, 2009, 42(9): 2169-2180.
- [18] Ratanamahatana C A, Keogh E. Everything you know about dynamic time warping is wrong[C]//Third workshop on mining temporal and sequential data. Citeseer, 2004, 32.
- [19] Yu G, Cai Z, Wang S, et al. Unsupervised online anomaly detection with parameter adaptation for KPI abrupt changes[J]. IEEE Transactions on Network and Service Management, 2019, 17(3): 1294-1308.
- [20] Wang X, Li N, Zhang L, et al. Rapid Trend Prediction for Large-Scale Cloud Database KPIs by Clustering[C]//2021 IEEE/ACM International Workshop on Cloud Intelligence (CloudIntelligence). IEEE, 2021: 1-6.
- [21] Han Y, Du, Q, Xu, J, et al. LWS: A Framework for Log-based Workload Simulation in Session-based SUT [J/OL]. arXiv preprint arXiv: 2301.08851, 2023.
- [22] Wang C, Wu K, Zhou T, et al. Tsagen: synthetic time series generation for kpi anomaly detection[J]. IEEE Transactions on Network and Service Management, 2021, 19(1): 130-145.
- [23] Fournier A, Fussell D, Carpenter L. Computer rendering of stochastic models[J]. Communications of the ACM, 1982, 25(6): 371-384.

附中文参考文献:

[1]	包航宇, 殷康璘, 曹 [doi: 10.13328/j.cnki.	立,等 智能运维的实践: jos.006876]	现状与标准化.软件。	学报,2023,34(9):0. 1	http://www.jos.org.cr	n/1000-9825/6876.htm